АСТРОФИЗИКА

TOM 29

ОКТЯБРЬ, 1988

ВЫПУСК 2

УДК: 524.45Марк1118:520.8

ДЕТАЛЬНОЕ МОРФОЛОГИЧЕСКОЕ И СПЕКТРОФОТО-МЕТРИЧЕСКОЕ ИССЛЕДОВАНИЕ ГАЛАКТИКИ МАРКАРЯН 1118

А. Н. БУРЕНКОВ, А. Р. ПЕТРОСЯН, А. Б. САРКИСЯН, Э. Е. ХАЧИКЯН Поступила 9 ноября 1987 Принята к печати 20 апреля 1988

Приведены результаты детального спектрофотометрического и морфологического исследования галактики Маркарян 1118. Наблюдательный материал получен на 6-м телескопе САО АН СССР и 2.6-м телескопе БАО АН Арм.ССР. По относительным интенсивностям эмиссионных линий оценены значения T_e и n_e , содержание элементов Не, О, N и S, массы и коэффициенты скважности ионизованного газа, число звезд типа \cdot 09 и темп звездообразования в ядре и в четырех сверхассоциациях этой галактики. Показано, что ядро галактики является объектом типа N. Обнаружена двейственность одной из сверхассоциаций, которая выделяется своими физическими параметрами.

1. Ввеление. Среди галактик с УФ-избытком Марк 1118 (NGC 6484, U 11010, МКГ 04-42-007) является одной из наиболее ярких [1] и дозольно корошо изучена. Ее лучевая скорость определена по радио и оптическим наблюдениям [2—6]. Марк 1118 наблюдалась с широкополосными U, B, V, R фильтрами [7], в линии 21 см Н I [2, 3] и в радиодиапазоне [8, 9]. По данным работы [3] Марк 1118 составляет пару с NGC 6482. Морфологический тип галактики по каталогу UGC—Sb (странный) [10], по [3] — Sc, а по [1] — Sbc. На основе прямого снимка 2.6-м телескопа Бюраканской обсерватории Марк 1.118 классифицирована как Sbc-галактика [11]. В этой же работе в галактике выделены расположенные симметрично относительно ядра четыре гигантские Н II сбласти — сверхассоциации.

В настоящей работе приведены результаты морфологического, а также опектрофотометрического исследования ядерной области галактики и отмеченных областей звездообразования.

2. Наблюдательный материал и его обработка. Крупномасштабный прямой снимок галактики Марк 1118 получен на 2.6-м телескопе БАО АН Арм.ССР 14.06.80 т. на пластинке Zu-21 без фильтра, с экспозицией 20

минут. При наблюдениях изображение звезд $\sim 3''$. Снимок галактики воспроизведен на рис. 1a.

С целью более полного извлечения информации о морфологической структуре Марк 1118, ее прямой снимок просканирован на автоматическом микроденситометре АМД-1 САО АН СССР с диафратмой 10×10 мкм, с шагом 10 мкм. Полученное двумерное изображение сбработано методом быстрого преобразования Фурье. Рассчитаны и использованы оптимальный фильтр низких частот и оптимальный фильтр Винера. Результаты обработки в виде жартины изоденс воспроизведены на рис. 1b, с.

Спектры Марк 1118 получены в первичном фокусе 6-м телескопа САО АН СССР со опектрографами СП-160 и UAGS, с двухкамерным ЭОП УМК-91В. В первую ночь изображения были порядка 3", а во вторую — 1—2". Масштаб перпендикулярно дисперсии ~ 17"/мм. Галактика наблюдалась при двух положениях щели спектрографа, которые указаны на прямом снимке Марк 1118 (рис. 2). Там же отмечены изученные четыре сверхассоциации (СА).

Данные о спектральных наблюдениях отдельно для кеждого положения щели спектрографа приведены в табл. 1.

ДАННЫЕ О СПЕКТРАЛЬНЫХ НАБЛЮДЕНИЯХ МАРК 1118 НА БТА

Положение шем	Дата наблюдений	Спектро- граф	Экспозиция (нин)	Дисперсия (А/ми)	Спектральный. диапазон (А)
1	14.07.82	СП-160	20	65	5700—7200
19.75			5	_	5700—7200
0 3000 -		44.1	5	_	4600-6100
	A 25-		5		3600-5100
II	23.06.84	UAGS	30	100	4900-7500
	10.00	100	20		3700 — 6300·

В качестве звезд сравнения служили 92 Фейджа и BD-\-25°3941 [12]. Обработка спектров производилась на микроденситометре PDS—1010A БАО АН Арм.ССР.

3. Ревультаты. Марк 1118 разными авторами морфологически классифицирована по-разному [1, 3, 10, 11]. По нашим данным (рис. 1а, b) галактика имеет два спиральных рукава. Оба они выходят «касательно» к центральной области галактики, затем широко раскрываются, причем западный рукав более клочковатый, чем восточный. Центральная сбласть галактики имеет продолговатую форму с ярким ядром в середине. По классификационной схеме де Вокулера галактику можно причислить к типу SAB(s)bc.

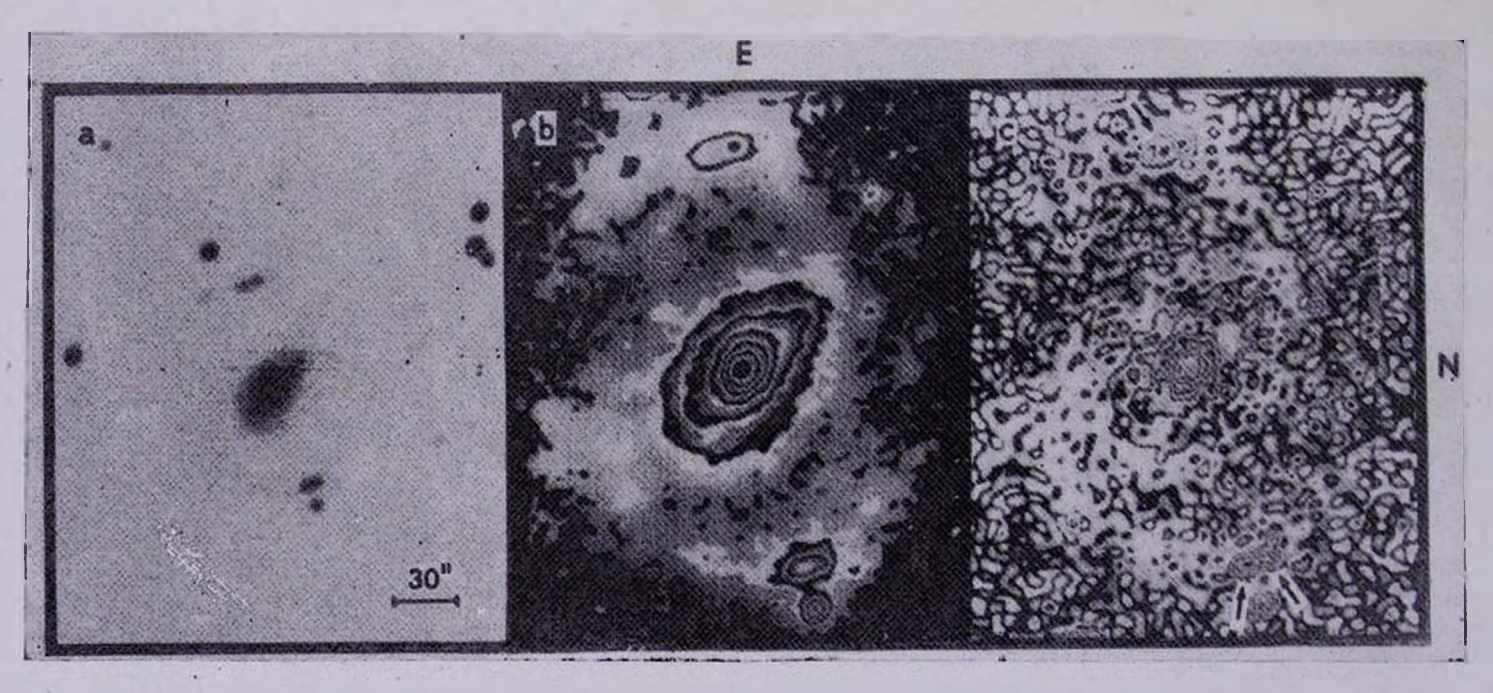


Рис. 1. Галактика Марк 1118: а) Прямой снимок. b) Результат обработки прямого снимка с фильтром низких частот. c) То же с фильтром Вимера. Стрелками указаны два компонента СА 1 и слабое сгущение между СА 2 и СА 3.

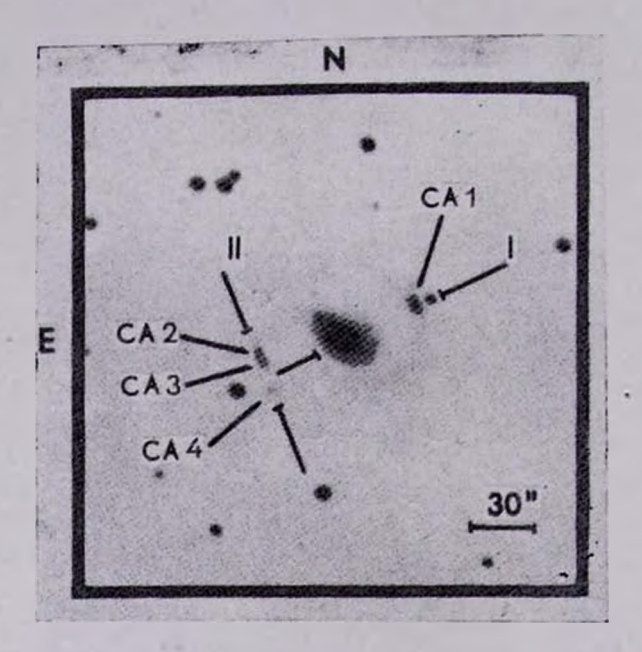


Рис. 2. Сверхассоциации в Марк 1118. Через I и II показано положение щели спектрографа.

К ст. Буренкова А. Н. и др.

Из стождествленных в спиральных рукавах Марк 1118 четырех сверхассоциаций СА1 имеет продолговатую форму. Цифровая обработка изображения галактики с использованием оптимального фильтра Винера позволила выявить двухкомпонентную структуру СА1 (см. рис. 1с) и показать, что в ней восточный компонент ирче западного. Так как обнаруженные оба компонента также имеют продолговатую форму, то не исключено, что каждый из них в свою очередь имеет более сложную структуру. Примечательно также, что между компактными сверхассоциациями СА2 и СА3 в восточном рукаве галактики выявляется слабое сгущение (см. рис. 1с).

При первом положении щели спектрографа (рис. 2) в нее попадали часть СА1 и ядро галактики. Ядро галактики имеет сильный непрерывный опектр, простирающийся далеко в коротковолновую часть, и широкие эмиссионные линии [S II], [N II], H_{\bullet} , H_{3} и [O II]. Полуширины линий (FWHM), исправленные за инструментальный контур, равны ~ 500 км с⁻¹. На возможное присутствие широкой линии H_{\bullet} в спектре ядра Марк 1118 ранее указывалось в [4].

Исправленная за движение Солнца вокруг центра Галактики лучевля скорость Марк 1118 оказалась равной 3200 ± 52 км с $^{-1}$, что хорошо согласуется с радиоопределениями [2, 3].

Отметим, что эмиссионные линии H_z и [N II] λ 6584 выходят далеко за пределы непрерывного спектра ядра галактики (приблизительно на 7" или 1.5 юлк, здесь и далее H=75 км с $^{-1}$ на Мпк). Причем, в линии H_z отдельным сгущением выделяется начальный участок восточного спирального рукава Марк 1118.

В спектре СА1 на фоне слабого по сравнению с ядром непрерывного спектра отождествлены эмиссионные линии [S II], [N II], H_2 , He I λ 5876, [O III], H_3 , H_7 и [O II].

При втором положении щели (рис. 2) в нее попадали СА2, СА3 и СА4. СА2 и СА3 имеют почти одинаковый непрерывный спектр с одними и теми же, но различаемыми по интенсивности эмиссионными линиями [SII], [NII], Н_в, Не I \(\lambda\) 5876, [O III]. Н₃, Н₇, Н₈ и [O II].

Непрерывный опектр СА4 едва заметен, но четко наблюдаются эмиссионные линии H_α , [O III], H_β и [O II]. Заметен след линии [N II] λ 6584.

Все отождествленные эмиссионные линии во всех опектрах Марк 1118 фотометрированы. Погрешности в определении интенсивностей этих линий составляют, в среднем, 25% для $I(\lambda) \gg I(H_3)$ и $40\,^{\circ}/_{\circ}$ для $I(\lambda) \ll I(H_3)$.

Наблюденные и исправленные за поглощение согласно [13] значения относительных интенсивностей амиссионных линий всех СА и ядра Марк 1118 приведены в табл. 2. В последней строке таблицы даны эначения

вквивалентных ширин эмиссионной линии H_{β} , ошибки измерения которых не превышают 30%.

Таблица 2 ЗНАЧЕНИЯ ОТНОСИТЕЛЬНЫХ ИНТЕНСИВНОСТЕЙ ЭМИССИОННЫХ ЛИНИЙ И ЭКВИВАЛЕНТНЫХ ШИРИН ЛИНИИ НВ В ЯДРЕ И В СА МАРК 1118

	Ядро		CA1		CA2		CA3		CA4	
	(The)	$\left(\frac{\hbar}{T_{\rm Hg}}\right)_{\rm itcup}$	$\left(\frac{I_1}{I_{H\beta}}\right)_{\text{Hada.}}$	(The Jump	$\left(\frac{I_{\lambda}}{I_{H_{\beta}}}\right)_{\text{nad}_{\lambda}}$	$\left(\frac{I_{\lambda}}{I_{H_{\beta}}}\right)_{\text{scup}}$	$\left(\frac{I_{\lambda}}{I_{\rm H3}}\right)_{\rm rada.}$	(h) memp	$\left(\frac{L_{\lambda}}{I_{H_3}}\right)_{a=6_{\lambda}}$	
[S II] \(\lambda\) 6731	1.45	0.71	0.34	0.16	0.80	0.37	1.12	0.57	_	
[S II] \(\lambda\) 6717	2.11	1.04	0.42	0.20	0.89	0.42	1.57	0.80	_	-
[N II] λ 6584	4.77	2.43	0.95	0.48	1.71	0.84	2.23	1.05	_	_
Hα	5.50	2.82	5.50	2.82	5.67	2.52	5.28	2.82	6.20	2.8
[N II] λ 6548	1.87	0.96	0.35	0.18	0.61	0.30	0.75	0.34	_	
He I \ 5876		_	0.26	0.17	0.29	0.18	0.29	0.19	_	_
[O III] \(\lambda\) 5007	-	_	2.18	2.02	1.17	1.08	1.40	1.30	1.68	1.5
[O 111] \(\lambda\) 4959	_	_ =	0.70	0.66	0.38	0.36	0.42	0.39	0.56	0.5
Hē	1.00	1.00	1.00	1.00	1.00	1.00	1.00	1.00	1.00	1.0
H ₇	-	-	0.26	0.35	0.30	0.42	0.24	0.32	_	
Ho	-	_	_	_	0.08	0.13	0.11	0.17		_
[O II] \(\lambda\) 3727	0.5:	1.1:	1.36	2.98	1.44	3.26	1.26	2.65	1.59	3.9
W _{Hβ} (A)	2	0		80	5		1			7

Электронные температуры всех СА, определенные тремя способами с помощью вмпирических зависимостей между T_e и отношениями $I([O\ III])/I([N\ II])$, $I([O\ III])$, и их средние значения приведены в табл. 3. Там же по [17] приведены значения электронных плотностей.

Таблица 3 ЗНАЧЕНИЯ Т. И п. В СА МАРК 1118

	CA1	CA2	CA3	CA4
Т. по [14]	7900	7200	7200	_
Т. по [15]	8100	7800	7800	8400
Т. по [16]	8500	7900	7630	8780
$ar{T}_{ullet}$	8200	7600	7500	8600
ne	220	340	50	100*

Принятое при расчетах значение пе

Значения относительных интенсивностей $I([OIII] \lambda 5007)/I(H_{\beta})$ и: $I([NII] \lambda 6584)/I(H_{\bullet})$ в спектрах всех четырех CA характерны для H II областей, в которых излучение в линиях обусловлено фотоионизацией коротковолновым излучением горячих О—В звезд [18]. Для всех четырех образований температура ионизующих звезд (T_{\bullet}) должна быть в пределах 3.2— $3.5 \cdot 10^4$ K [19], т. е. ионизация газа в них обусловлена преимущественно звездами опектральных типов B0—O9 [20].

По вышеприведенным данным и согласно [21—24] рассчитано также содержание гелия, кислорода, авота и серы в СА Марк 1118. Полученные значения логарифмов содержания этих элементов, а также отношения N/O приведены в табл. 4. Количество атомов водорода принято равным 10¹². Отметим, что полученные нами оценки содержания серы являются нижним пределом (см., например, [25]). Приведенное в табл. 4 значение содержания авота в ядре галактики вычислено с использованием его значения $lg[N II] \lambda 6584/H_{\alpha}$ и эмпирической зависимости для ядер спиральных галактик [26].

Таблица 4 СОДЕРЖАНИЯ ТЯЖЕЛЫХ ЭЛЕМЕНТОВ В ЯДРЕ И В СА МАРК 1118

	12+ lg He/H	12 + lg O/H	12 + lg N/H	12 + lg S/H	lg N/O
Ядро	_		8.23	8	_
CA1	11.05	8.61	7.64	>6.95	-0.97
CA2	11.07	8.75	7.56	>6.97	-1.19·
CA3	11.09	8.70	7.72	>7.27	-0.98
CA4	_	8.57	_		_
Ядра спи- ральных галактик	_	9.03	8.16	_	—0.87
HII-области	11.07	8.60	7.59	>7.26	-1.01
Солице	10.93	8.92	7.99	7.23	-0.93

В табл. 4 для сравнения приведены содержания тех же элементов для ядер нормальных спиральных галактик [14], для галактических Н II областей [27] и для Солнца [28, 29].

В работе [11] оценены видимые фотографические звездные величины ядра и четырех СА Марк 1118, на основе чего по [30] оценены их эвездные величины в цвете B, которые приведены в табл. 5. Используя эти оценки, а также приведенные в табл. 2 значения эквивалентных ширин линий H_{β} , рассчитаны наблюдаемые абсолютные потоки ($F_{H_{\beta}}$) и ошибки их определения. Зная $F_{H_{\beta}}$ можно вычислить абсолютные светимости ($L_{H_{\beta}}$) в ливии H_{β} с учетом поглощения; эффективные объемы $V_{\mathfrak{spp}}$;

Таблица 5

НЕКОТОРЫЕ ФИЗИЧЕСКИЕ ХАРАКТЕРИСТИКИ ЯДРА И СА МАРК 1118

	Ядро	CA1	CA2	CA3	CA4
В	16 ^m 3	18‴3	19 ^m 3	19 ^m 3	1978
FH3 (apr cm - 2 c-1)	$(2.2\pm0.9)\cdot10^{-14}$	(8.4±3.4)·10 ⁻¹⁴	(3.7±1.5)·10 ⁻¹⁵	(1.3±0.6)·10 ⁻¹⁵	(2.5±1.2)·10 ⁻¹⁵
LHg (spr c-1)	4.4-1040	1.7-104	8.1.1039	2.2.1039	8.6.1039
IH3 (spr cm-3 c-1)	-	7.0.10-21	1.8.10-20	4.0.10-22	1.3.10-21
V _{пфф} (см ³)	3 3 3 4	2.4.1081	4.5-1059	5.5.1000 .	6.6.100
M HII (M☉)	202	4.4·10 ⁶	1.3.105	2.3-105	- 5.5-105
α		1.0-10-4	1.1.10-4	1.0-10-3	3.6.10-5
N _{LyC} (e-1)	8.8-1052	3.4.1053	1.6.1052	4.4.1051	1.7.102
N _• (O9)	4.1.104	1.6.103	7.6.103	2.1.103	8.0.103
MT30 (MO roa-1)	0.9	3.37	0.2	0.04	0.2

массы излучающего газа (\mathfrak{M}_{HII}), а также факторы скважности (α); количество лаймановских квантов (N_{LyC}) по [31] и по [20]; количество звезд типа О9, способных излучать, такое количество лаймановских квантов (N_*). Значения этих физических характеристик, вычисленные для ядра и четырех СА галактики, приведены в табл. 5.

В таблице приведены также оценки темпа эвездообразования (все звезды с массами от 0.1 до $100~\mathfrak{M}_{\odot}$) в исследуемых образованиях согласно [32].

4. Обсуждение. По ширине эмиссионных линий 500 км с $^{-1}$ и по значению $I(H_a)/I$ ([N II] λ 6584) = 1.16 ядро Марк 1118 можно отнести к LINER или Sy2 [33]. Однако отсутствие в его спектре заметных линий [О I] и [О III] затрудняет его точную классификацию как LINER или Sy2. В этом случае, как указано в [33], это ядро можно классифицировать как объект типа N. Содержание азота в нем выше, чем для ядер спиральных галактик с классификацией ядра как H II-область [14]. Темп звездообразования в ядре, оцененный по $L_{\rm H_3}$, довольно высок. Это этчасти может быть отражением того, что часть ионизующего излучения в нем может иметь нетепловую природу (см., например, [34]).

Известно, что в спиральных галактиках протяженные вдоль рукавов гигантские Н II-области часто оказываются состоящими из небольших, но сравнимых со сверхассоциациями, комплексов (см., например, [35]). Темп звездообразования в таких системах довольно высок.

Как выяснилось, СА1 состоит. как минимум, из двух образований, сравнимых с более компактными СА2 и СА3. По своим физическим характеристикам (темп звездообразования, масса ионизованного газа и т. д.) она в десятки раз превосходит СА2, СА3 и СА4 и даже заметно ядро галактики. По темпу звездообразования СА1 превосходит некоторые галактики поздних морфологических типов в целом [36].

Специальная астрофизическая обсерватория АН СССР Бюраканская астрофизическая обсерватория

DETAILED MORPHOLOGICAL AND SPECTROPHOTOMETRICAL INVESTIGATION OF THE GALAXY MARKARIAN 1118

A. N. BURENKOV, A. R. PETROSIAN, A. B. SARKISIAN, E. YE. KHACHIKIAN

The results of detailed morphological and spectrophotometrical investigation of the galaxy Markarian 1118 are presented. Observational data has been carried out with 6-m telescope of the Special Astrophy-12-554

sical Observatory and 2.6 m telescope of Byurakan Observatory. By means of Intensity ratio of emission lines T_e , n_e , the abundances of He, O, N, S, the masses and filling factors of the emitting gas, the numbers of the O9 type stars and star formation rates for nuclear region and for four giant HII regions (superassociations) are estimated. The nucleous of Markarian 1118 is classificated as N type object. The double structure of one of the giant HII regions, which is distinguished by its physical parameters, is discovered.

ЛИТЕРАТУРА

- 1. Б. Е. Маркарян, В. А. Липовецкий, Дж. А. Степанян, Атрофизика, 15, 201, 1979.
- 2. N. Thonnard, V. C. Rubin, W. K. Ford Jr., M. S. Roberts, Astron. J., 83, 1564, 1978.
- 3. S. D. Peterson, Astrophys. J. Suppl. Ser., 40, 527, 1979.
- 4. Б. Е. Маркарян, В. А. Липовецкий, Дж. А. Степанян, Астрофизика, 16, 5, 1980.
- 5. L. Bottinelli, L. Gouguenheim, G. Paturel, Astron, and Astrophys. Suppl. Ser., 47, 171, 1982.
- G. C. G. Palumbo, G. Tanzella-Nitti, G. Vettolani, Catalogue of Radial Velocities of Galaxies, Gordon and Breach, New York, 1983.
- 7. Э. А. Дибай, В. Т. Дорошенко, К. А. Постнов, Письма в Астрон. ж., 7; 527, 1981.
- 8. L. L. Dressel, J. J. Condon, Astrophys. J. Suppl. Ser., 36, 53, 1978.
- 9. В. А. Санамян, Р. А. Кандалян, Г. А. Озанян, Астрофизыка, 19, 429, 1983.
- P. Nilson, Uppsala General Catalogue of Galaxies, Uppsala Astron. Observ. Ann., 6, 1973.
- 11. А. Р. Петросян, К. А. Саакян, Э. Е. Хачикян, Астрофизика, 20, 51, 1984.
- 12. R. P. S. Stone, Astrophys. J., 218, 767, 1977.
- 13. J. S. Mathis, Astrophys. J., 159, 263, 1970.
- 14. D. Alloin, S. Collin-Souffrin, M. Joly, L. Vigroux, Astron. and Astrophys., 78, 200, 1979.
- B. E. J. Pagel, M. G. Edmunds, D. E. Blackweel, M. S. Chun, G. Smith, Mon. Notic. Roy. Astron. Soc., 189, 95, 1979.
- P. A. Shaver, R. X. McGee, L. M. Newton, A. C. Danks, S. R. Pottasch, Mon. Notic. Roy. Astron. Soc., 204, 53, 1983.
- 17. Н. В. Носов, Астрон. циркуляр, № 1050, 1979.
- 18. J. A. Baldwin, M. M. Phillips, R. Terlevich, Publ. Astron. Soc. Pacif., 93, 5, 1981.
- 19. J. B. Kaler, Astrophys. J., 210, 843, 1976.
- 20. P. G. Mezger, L. F. Smith, E. Churchwell, Astron. and Astrophys., 32, 269, 1974.
- 21. M. Peimbert, R. Costero, Bol. Observ. Tonantzintla, 5,.3, 1969.
- 22. M. Peimbert, S. Torres-Peimbert, Astrophys. J., 168, 413, 1971.
- 23. P. Benvenuti, S. D'Odorico, M. Peimbert, Astron. and Astrophys., 28, 447, 1973.
- 24. M. J. Seaton, Adv. Atom. Molecul. Phys., 4, 331, 1968.
- 25. J. B. Kaler, Astrophys. J., 244, 54, 1981.
- 26. А. Р. Петросян; Сообщ. Бюракан. обсерв.; 61, 1988.
- 27. S. A. Hawley, Astrophys. J., 224, 417, 1978...
- 28. D. L. Lambert, Mon. Notic. Roy. Astron. Soc., 182, 249, 1978.

- 29. D L. Lambert, Mon. Notic. Roy. Astron. Soc., 183, 79, 1978.
- 30. J. Huchra, Astron. J., 81, 952, 1976.
- 31. S. R. Pottash, Vistas Astron., 6, 149, 1965.
- 32. D. A. Hunter, J. S. Gallagher III, Publ. Astron. Soc. Pacif., 98, 5, 1986.
- 33. M.-P. Veron-Cetty, P. Veron, Astron. and Astrophys. Suppl. Ser., 66, 335, 1986.
- 34. A. V Filippenko, Astrophys. J., 289, 475, 1985.
- 35. R. C. Kennicutt, Jr., Astrophys. J., 287, 116, 1984.
- 36. R. C. Kennicutt, Jr., Astrophys. J., 272, 54, 1983.

The neutral discovering photometry, of seas of age and explored explored the next of the next of the next of the next of the season of the large state of the season of the large state of the season of the season of the Special of the season of the season

It introductions A 225 is a rish and request closes of galaxies as Comm [1]. According to Nibell [2] it has richness class 2 and distance group 3 (the alcordinate readshift a = 0.0001 [3]). The closter belongs to the Bantz-Morgan intermediate type U = [1] [4]. The closter belongs to the Bantz-Morgan intermediate type U = [1] [4]. Two emphisis galaxies are located in the central region of the close (a gone deather tied 0.331 and tied (0.331 and 1) [6]. Twicky has described the galaxy NGC 0.331 and tiple system in balo [7]. For or them is close double galaxy with it = 0.0502 and the north-west neighbour as a radio galaxy with it = 0.0578 [8]. Another brighter resolve has been classified as 2 type galaxy by Orestale [7].

. A2256 is one of the most powerful closter 3-ray sources among the presently known ($L_V \sim 3.2 \cdot 10^{11} \, \mathrm{erg} \, \mathrm{s}^{-1}$) [10] The Array emission has been detected from an extended source whose angular size is about 16]-[12]. This corresponds to a linear extent approximately 1 Mine (here and hereafter $M = 75 \, \mathrm{km} \, \mathrm{s}^{-1} \, \mathrm{Mpc}^{-1}$). High resolution observations at the Einstein Observatory have shown the X-ray surface brightness distinction Observatory have shown the X-ray surface brightness dis-